

Starkniederschlagshöhen und -spenden gemäß KOSTRA-DWD-2020

Rasterfeld 97187

(Zeile 97, Spalte 187)

Regenspende und Bemessungsniederschlagswerte in Abhängigkeit von Wiederkehrzeit T und Dauerstufe D

| Wiederkehrzeit T | | | | | | | | | | | | | | | | | | | |
|------------------|-----|------|------------|------|------------|------|------------|------|------------|------|------------|-------|------------|-------|------------|-------|------------|-------|------------|
| Dauerstufe D | | 1 a | | 2 a | | 3 a | | 5 a | | 10 a | | 20 a | | 30 a | | 50 a | | 100 a | |
| min | Std | mm | l / (s ha) | mm | l / (s ha) | mm | l / (s ha) | mm | l / (s ha) | mm | l / (s ha) |
| 5 | | 6,9 | 230,0 | 8,7 | 290,0 | 9,8 | 326,7 | 11,3 | 376,7 | 13,5 | 450,0 | 15,7 | 523,3 | 17,1 | 570,0 | 19,0 | 633,3 | 21,7 | 723,3 |
| 10 | | 8,8 | 146,7 | 11,1 | 185,0 | 12,6 | 210,0 | 14,5 | 241,7 | 17,2 | 286,7 | 20,1 | 335,0 | 21,9 | 365,0 | 24,4 | 406,7 | 27,9 | 465,0 |
| 15 | | 10,0 | 111,1 | 12,6 | 140,0 | 14,3 | 158,9 | 16,4 | 182,2 | 19,5 | 216,7 | 22,8 | 253,3 | 24,9 | 276,7 | 27,6 | 306,7 | 31,6 | 351,1 |
| 20 | | 10,8 | 90,0 | 13,7 | 114,2 | 15,5 | 129,2 | 17,8 | 148,3 | 21,2 | 176,7 | 24,7 | 205,8 | 27,0 | 225,0 | 30,0 | 250,0 | 34,3 | 285,8 |
| 30 | | 12,1 | 67,2 | 15,3 | 85,0 | 17,3 | 96,1 | 19,9 | 110,6 | 23,7 | 131,7 | 27,6 | 153,3 | 30,1 | 167,2 | 33,5 | 186,1 | 38,3 | 212,8 |
| 45 | | 13,4 | 49,6 | 17,0 | 63,0 | 19,2 | 71,1 | 22,1 | 81,9 | 26,3 | 97,4 | 30,6 | 113,3 | 33,5 | 124,1 | 37,2 | 137,8 | 42,5 | 157,4 |
| 60 | 1 | 14,4 | 40,0 | 18,3 | 50,8 | 20,6 | 57,2 | 23,8 | 66,1 | 28,3 | 78,6 | 32,9 | 91,4 | 36,0 | 100,0 | 40,0 | 111,1 | 45,7 | 126,9 |
| 90 | 1,5 | 15,9 | 29,4 | 20,2 | 37,4 | 22,8 | 42,2 | 26,2 | 48,5 | 31,2 | 57,8 | 36,3 | 67,2 | 39,7 | 73,5 | 44,1 | 81,7 | 50,4 | 93,3 |
| 120 | 2 | 17,0 | 23,6 | 21,6 | 30,0 | 24,4 | 33,9 | 28,1 | 39,0 | 33,4 | 46,4 | 38,9 | 54,0 | 42,6 | 59,2 | 47,3 | 65,7 | 54,0 | 75,0 |
| 180 | 3 | 18,8 | 17,4 | 23,8 | 22,0 | 26,9 | 24,9 | 31,0 | 28,7 | 36,8 | 34,1 | 42,9 | 39,7 | 46,8 | 43,3 | 52,0 | 48,1 | 59,5 | 55,1 |
| 240 | 4 | 20,1 | 14,0 | 25,4 | 17,6 | 28,8 | 20,0 | 33,1 | 23,0 | 39,4 | 27,4 | 45,9 | 31,9 | 50,1 | 34,8 | 55,7 | 38,7 | 63,7 | 44,2 |
| 360 | 6 | 22,1 | 10,2 | 28,0 | 13,0 | 31,6 | 14,6 | 36,4 | 16,9 | 43,3 | 20,0 | 50,4 | 23,3 | 55,1 | 25,5 | 61,2 | 28,3 | 70,0 | 32,4 |
| 540 | 9 | 24,3 | 7,5 | 30,7 | 9,5 | 34,7 | 10,7 | 40,0 | 12,3 | 47,6 | 14,7 | 55,4 | 17,1 | 60,6 | 18,7 | 67,3 | 20,8 | 76,9 | 23,7 |
| 720 | 12 | 25,9 | 6,0 | 32,8 | 7,6 | 37,1 | 8,6 | 42,8 | 9,9 | 50,9 | 11,8 | 59,3 | 13,7 | 64,7 | 15,0 | 71,9 | 16,6 | 82,2 | 19,0 |
| 1080 | 18 | 28,5 | 4,4 | 36,1 | 5,6 | 40,8 | 6,3 | 47,0 | 7,3 | 55,9 | 8,6 | 65,1 | 10,0 | 71,1 | 11,0 | 79,0 | 12,2 | 90,3 | 13,9 |
| 1440 | 24 | 30,4 | 3,5 | 38,6 | 4,5 | 43,6 | 5,0 | 50,2 | 5,8 | 59,7 | 6,9 | 69,5 | 8,0 | 76,0 | 8,8 | 84,4 | 9,8 | 96,5 | 11,2 |
| 2880 | 48 | 35,7 | 2,1 | 45,2 | 2,6 | 51,1 | 3,0 | 58,9 | 3,4 | 70,1 | 4,1 | 81,6 | 4,7 | 89,1 | 5,2 | 99,0 | 5,7 | 113,2 | 6,6 |
| 4320 | 72 | 39,2 | 1,5 | 49,7 | 1,9 | 56,1 | 2,2 | 64,7 | 2,5 | 76,9 | 3,0 | 89,6 | 3,5 | 97,9 | 3,8 | 108,7 | 4,2 | 124,3 | 4,8 |
| 5760 | 96 | 41,9 | 1,2 | 53,1 | 1,5 | 60,0 | 1,7 | 69,1 | 2,0 | 82,2 | 2,4 | 95,7 | 2,8 | 104,6 | 3,0 | 116,2 | 3,4 | 132,8 | 3,8 |
| 7200 | 120 | 44,1 | 1,0 | 55,9 | 1,3 | 63,2 | 1,5 | 72,7 | 1,7 | 86,5 | 2,0 | 100,8 | 2,3 | 110,1 | 2,5 | 122,3 | 2,8 | 139,8 | 3,2 |
| 8640 | 144 | 46,0 | 0,9 | 58,3 | 1,1 | 65,9 | 1,3 | 75,9 | 1,5 | 90,2 | 1,7 | 105,1 | 2,0 | 114,8 | 2,2 | 127,5 | 2,5 | 145,8 | 2,8 |
| 10080 | 168 | 47,6 | 0,8 | 60,4 | 1,0 | 68,2 | 1,1 | 78,6 | 1,3 | 93,5 | 1,5 | 108,9 | 1,8 | 118,9 | 2,0 | 132,1 | 2,2 | 151,0 | 2,5 |

Starkniederschlagshöhen und -spenden gemäß KOSTRA-DWD-2020

Rasterfeld 97187

(Zeile 97, Spalte 187)

Örtliche Unsicherheiten in Abhängigkeit von Wiederkehrzeit T und Dauerstufe D

| | | Wiederkehrzeit T | | | | | | | | |
|--------------|-----|------------------|-----|-----|-----|------|------|------|------|-------|
| Dauerstufe D | | 1 a | 2 a | 3 a | 5 a | 10 a | 20 a | 30 a | 50 a | 100 a |
| min | Std | ± % | ± % | ± % | ± % | ± % | ± % | ± % | ± % | ± % |
| 5 | | 10 | 10 | 11 | 11 | 12 | 13 | 13 | 14 | 14 |
| 10 | | 11 | 13 | 14 | 15 | 16 | 17 | 18 | 18 | 19 |
| 15 | | 13 | 15 | 16 | 17 | 19 | 20 | 20 | 21 | 22 |
| 20 | | 14 | 16 | 18 | 19 | 20 | 21 | 22 | 22 | 23 |
| 30 | | 15 | 18 | 19 | 20 | 21 | 22 | 23 | 24 | 24 |
| 45 | | 16 | 18 | 19 | 21 | 22 | 23 | 24 | 24 | 25 |
| 60 | 1 | 16 | 18 | 19 | 21 | 22 | 23 | 24 | 24 | 25 |
| 90 | 1,5 | 15 | 18 | 19 | 20 | 22 | 23 | 23 | 24 | 25 |
| 120 | 2 | 15 | 17 | 19 | 20 | 21 | 22 | 23 | 23 | 24 |
| 180 | 3 | 14 | 17 | 18 | 19 | 20 | 21 | 22 | 23 | 23 |
| 240 | 4 | 13 | 16 | 17 | 18 | 20 | 21 | 21 | 22 | 23 |
| 360 | 6 | 13 | 15 | 16 | 17 | 19 | 20 | 20 | 21 | 22 |
| 540 | 9 | 12 | 14 | 15 | 16 | 18 | 19 | 19 | 20 | 20 |
| 720 | 12 | 11 | 14 | 15 | 16 | 17 | 18 | 19 | 19 | 20 |
| 1080 | 18 | 11 | 13 | 14 | 15 | 16 | 17 | 18 | 18 | 19 |
| 1440 | 24 | 11 | 12 | 13 | 14 | 15 | 16 | 17 | 17 | 18 |
| 2880 | 48 | 10 | 12 | 12 | 13 | 14 | 15 | 16 | 16 | 17 |
| 4320 | 72 | 11 | 11 | 12 | 13 | 14 | 15 | 15 | 15 | 16 |
| 5760 | 96 | 11 | 11 | 12 | 13 | 13 | 14 | 15 | 15 | 15 |
| 7200 | 120 | 11 | 12 | 12 | 13 | 13 | 14 | 14 | 15 | 15 |
| 8640 | 144 | 12 | 12 | 12 | 13 | 13 | 14 | 14 | 15 | 15 |
| 10080 | 168 | 12 | 12 | 12 | 13 | 13 | 14 | 14 | 14 | 15 |

Parameter für abweichende T und D

Lokationsparameter ξ (Xi)

14,67006295

Skalenparameter α (Alpha)

5,44551071

Formparameter κ (Kappa)

-0,1

1. Koutsoyiannis-Parameter θ (Theta)

0,02303902

2. Koutsoyiannis-Parameter η (Eta)

0,76996491

Parameter für dauerstufenübergreifende Extremwertschätzung nach KOUTSOYIANNIS et al. 1998.

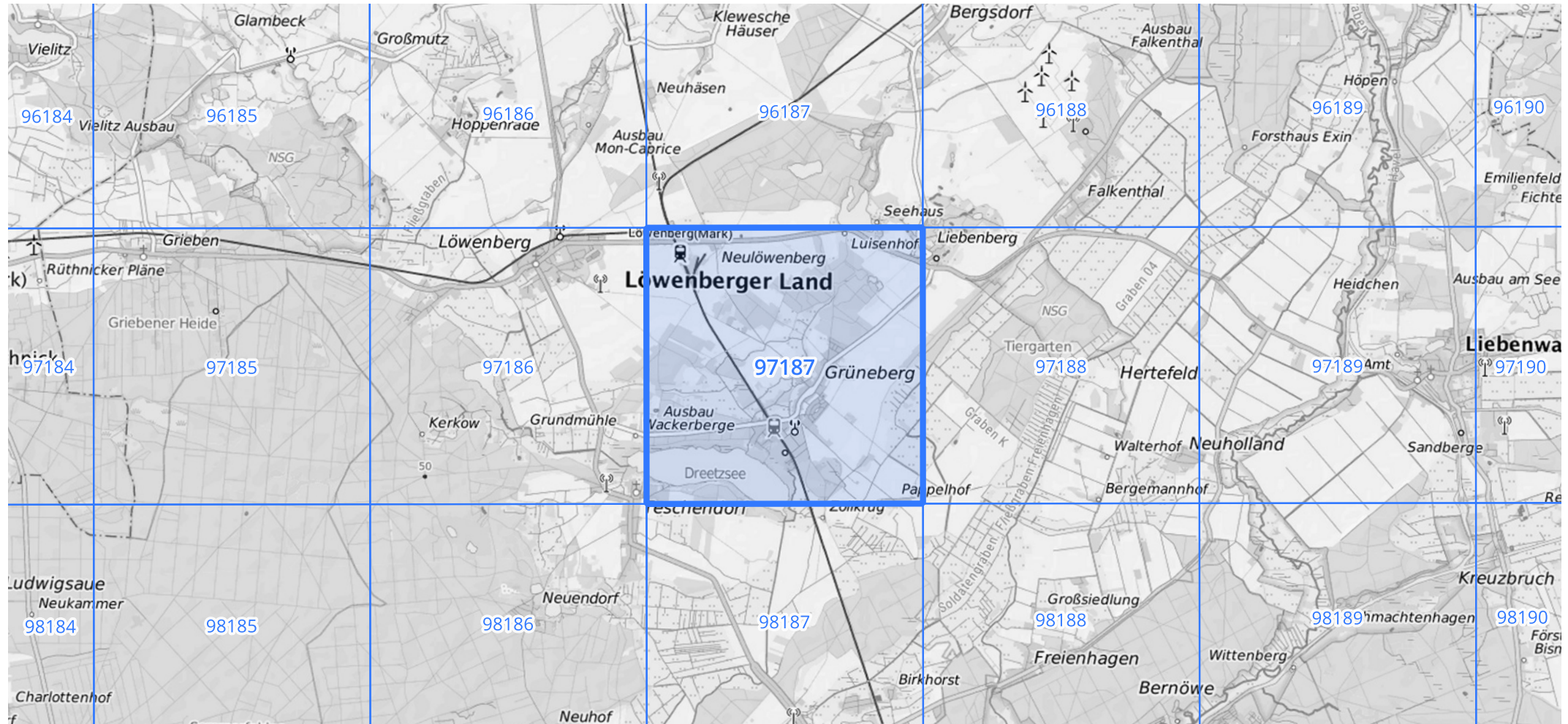
Siehe auch Anwendungshilfe zu KOSTRA-DWD-2020 des Deutschen Wetterdienstes.

Starkniederschlagshöhen und -spenden gemäß KOSTRA-DWD-2020

Rasterfeld 97187

(Zeile 97, Spalte 187)

Übersichtskarte des Rasterfeldes 97187, M 1 : 100 000



Quelle Rasterdaten: KOSTRA-DWD-2020 des Deutschen Wetterdienstes, Stand 12/2022.

Seite 3 von 3

Kartendarstellung: © Bundesamt für Kartographie und Geodäsie (2023), Datenquellen: https://sgx.geodatenzentrum.de/web_public/gdz/datenquellen/Datenquellen_TopPlusOpen.html

Für die Richtigkeit und Aktualität der Angaben wird keine Gewähr übernommen. Erstellt 01/2023.